

文章编号: 1671-7848(2007)03-0274-04

一类非线性时滞过程的自适应控制

李雄杰^{1,2}, 周东华¹

(1. 清华大学自动化系, 北京 100084; 2. 浙江工商职业技术学院机电工程系, 浙江宁波 315012)



摘要: 通过结合非线性过程的一般模型控制(GMC)、强跟踪预测器(STP)和强跟踪滤波器(STF), 提出了一类具有输入时滞非线性时变过程的自适应一般模型控制(AGMC)方法。基于强跟踪预测器对未来状态的预测, 传统的一般模型控制被扩展到一类具有输入时滞的非线性过程。通过强跟踪滤波器估计非线性过程的时变参数, 对STP和GMC进行在线参数修正。对三容水箱系统DTS200进行计算机仿真, 仿真结果表明, 该自适应控制策略是令人满意的, 其状态跟踪能力强, 对于模型失配也具有较强的鲁棒性。

关键词: 自适应控制; 时滞; 非线性; 强跟踪预测器; 强跟踪滤波器

中图分类号: TP 273

文献标识码: A

Adaptive Control of a Class of Nonlinear Time-delay Processes

LI Xiong-jie^{1,2}, ZHOU Dong-hua¹

(1. Department of Automation, Tsinghua University, Beijing 100084, China;

2. Department of Mechanical & Electrical Engineering, Zhejiang Business Technology Institute, Ningbo 305012, China)

Abstract: Combining the generic model control(GMC), the strong tracking predictor(STP) and the strong tracking filter(STF), an adaptive generic model control(AGMC) approach for a class of nonlinear time-varying processes with input time delay is proposed. Based on the predicted future states from the STP, the conventional generic model control is extended to a class of nonlinear process with input time delay. The time-varying parameters of the nonlinear process are estimated by the STF, which is applied to update the STP and the GMC. The simulations on the three-tank-system DTS200 show that the proposed AGMC scheme has the strong state tracking ability and the robustness against model mismatch.

Key words: adaptive control; time-delay; nonlinear processes; strong tracking predictor; strong tracking filter

1 引言

近年来, 非线性过程的自适应控制引起了广泛关注, 广大科技工作者提出了许多控制方法^[1,2], 如强跟踪滤波器自适应控制, 人工神经网络自适应控制等。在过程控制领域, 时滞现象几乎无处不在, 它使闭环系统的控制性能下降, 会引发额外的干扰, 甚至破坏闭环控制系统的稳定性。如何将自适应控制拓展到具有时滞的非线性系统, 虽然很难, 但更具有实际意义。本文以一般模型控制为框架, 利用强跟踪预测器对非线性时滞过程未来状态的预测能力, 借助于强跟踪滤波器对非线性过程时变参数的估计能力, 提出了一类非线性时滞过程的自适应控制策略, 仿真研究证实了此方法的有效性。

2 强跟踪预测器与非线性时滞过程的一般模型控制

1) 强跟踪预测器 考虑如下具有输入时滞的离散非线性过程:

$$\begin{cases} \mathbf{x}(k+1) = \mathbf{f}(\mathbf{x}(k), \mathbf{u}(k-\tau)) \\ \mathbf{y}(k) = \mathbf{h}(\mathbf{x}(k)) + \mathbf{e}(k) \end{cases} \quad (1)$$

式中, $\tau \in \mathbf{N}$ 为输入时滞; 状态向量 $\mathbf{x}(k) \in \mathbf{R}^n$; 输入 $\mathbf{u}(k) \in \mathbf{R}^p$; 输出 $\mathbf{y}(k) \in \mathbf{R}^m$; 并假定非线性函数 f 与 h 为具有足够高阶的关于 $\mathbf{x}(k)$ 的连续偏导数; 测量噪声 $\mathbf{e}(k) \in \mathbf{R}^m$ 为零均值, 方差为 $\mathbf{R}(k)$ 的独立高斯白噪声。

针对一类离散非线性时滞过程式(1), 其STP递推算法^[3]如下:

$$\hat{\mathbf{x}}(k+1) = \mathbf{f}(\hat{\mathbf{x}}(k|k-1), \mathbf{u}(k-\tau)) \quad (2)$$

$$\hat{\mathbf{x}}(k+i+1) = \mathbf{f}(\hat{\mathbf{x}}(k+i), \mathbf{u}(k-\tau+i)) \quad (3)$$

$$\hat{\mathbf{x}}(k+\tau+1|k) = \hat{\mathbf{x}}(k+\tau+1) + \mathbf{K}_p(k)\boldsymbol{\gamma}(k) \quad (4)$$

$$\boldsymbol{\gamma}(k) = \mathbf{y}(k) - \mathbf{h}(\hat{\mathbf{x}}(k|k-1)) \quad (5)$$

式中, 增益阵 $\mathbf{K}(k)$ 的计算公式由文献[3]给出。

STP是一种应用于具有输入时滞非线性过程的状态预测器, 具有很强的克服模型误差的鲁棒性。

2) 非线性时滞过程的一般模型控制 1988年

以来发展起来的 GMC^[4]，具有结构简单、鲁棒性强及参数易整定的特点，GMC 已在过程控制领域取得了许多应用成果。

考虑如下具有输入时滞的 MIMO 非线性过程：

$$\begin{cases} \dot{x}(t) = f(x) + g(x)u(t - \tau_1) \\ y(t) = h(x) \end{cases} \quad (6)$$

式中，状态变量 $x \in \mathbf{R}^n$ ；输入 $u \in \mathbf{R}^m$ ， $y \in \mathbf{R}^m$ ； τ_1 为输入时滞； f 、 g 和 h 为 x 的非线性函数，并且在某区域 R_0 内具有关于 x 的一阶连续偏导数。

过程式 (6) 也可以由下式描述：

$$\begin{cases} \dot{x}(t + \tau_1) = f(x(t + \tau_1)) + g(x(t + \tau_1))u(t) \\ y(t + \tau_1) = h(x(t + \tau_1)) \end{cases} \quad (7)$$

对传统的 GMC 控制律进行修正，得到离散形式的控制律^[5]为

$$u(k) = [L_g h(x(k + \tau + 1))]^{-1} \cdot [K_1(y^*(k + \tau + 1) - y(k + \tau + 1)) + \Delta t \cdot K_0 \sum_{j=1}^k (y^*(j + \tau + 1) - y(j + \tau + 1)) - L_f h(x(k + \tau + 1))] \quad (8)$$

式中， $\tau = \text{in}(\tau_1/\Delta t) - 1$ ； Δt 为采样间隔； y^* 为期望的稳定状态； K_0 和 K_1 是正定的对角矩阵，为预先设定的控制器参数。

利用 STF 的输出值 $\hat{x}(k + \tau + 1|k)$ 和 $h(\hat{x}(k + \tau + 1|k))$ 对未知的 $x(k + \tau + 1)$ 和 $y(k + \tau + 1)$ 进行近似，得到实际可用的控制律：

$$u(k) = [L_g h(\hat{x}(k + \tau + 1|k))]^{-1} \cdot [K_1(y^*(k + \tau + 1) - h(\hat{x}(k + \tau + 1|k))) + \Delta t \cdot K_0 \sum_{j=1}^k (y^*(j + \tau + 1) - h(\hat{x}(j + \tau + 1|k))) - L_f h(\hat{x}(k + \tau + 1|k))] \quad (9)$$

以上控制律将传统的 GMC 扩展到具有输入时滞的非线性过程。

3 强跟踪滤波器与时变参数估计

1) 强跟踪滤波器 考虑一类如下形式的离散非线性过程：

$$\begin{cases} x(k + 1) = f(x(k), u(k)) + v(k) \\ y(k + 1) = h(x(k + 1)) + e(k + 1) \end{cases} \quad (10)$$

式中，系统状态 $x(k) \in \mathbf{R}^n$ ；输入 $u(k) \in \mathbf{R}^p$ ；输出 $y(k) \in \mathbf{R}^m$ ；非线性函数 f 、 h 对 $x(k)$ 有连续的偏导；过程噪声 $v(k) \in \mathbf{R}^n$ 是零均值，方差为 $Q(k)$ 的高斯白噪声；测量噪声 $e(k) \in \mathbf{R}^m$ 是零均值，方差为 $R(k)$ 的高斯白噪声； $v(k)$ 和 $e(k)$ 统计独立。

基于扩展卡尔曼滤波器，通过引入一个次优渐消因子 $\lambda(k + 1)$ ，一种强跟踪滤波器 (STF) 递推算法^[6]如下：

$$\hat{x}(k + 1|k + 1) = \hat{x}(k + 1|k) + K(k + 1)\gamma(k + 1) \quad (11)$$

$$\gamma(k + 1) = y(k + 1) - h(\hat{x}(k + 1|k)) \quad (12)$$

式中，增益阵 $K(k + 1)$ 的计算公式参见文献 [6]。

STF 对模型不确定性具有较强的鲁棒性；对过程的缓变或突变状态均有很强的跟踪能力，能有效地实现非线性时变过程的状态与参数联合估计。

2) 非线性过程的时变参数估计 考虑如下具有输入时滞的非线性时变过程：

$$\begin{cases} \dot{x}(t) = f(x, \theta) + g(x, \theta) \cdot u(t - \tau_1) \\ y(t) = h(x, \theta) \end{cases} \quad (13)$$

式中， $\theta \in \mathbf{R}^l$ 为时变参数；其他变量的定义与过程式 (6) 中的定义相同。

设采样间隔为 Δt ，利用 Euler 离散化方法，过程式 (13) 可转化为如下离散形式：

$$\begin{cases} x(k + 1) = x(k) + \Delta t \cdot [f(x(k), \theta(k)) + g(x(k), \theta(k)) \cdot u(k - \tau)] \\ y(k + 1) = h(x(k + 1), \theta(k + 1)) \end{cases} \quad (14)$$

式中， $\tau = \text{in}(\tau_1/\Delta t) - 1$ 。

并假定该过程是局部能观的。

为了同时估计过程时变参数 $\theta(k)$ 及状态变量 $x(k)$ ，定义扩展向量 $x_e(k) = [x(k), \theta(k)]^T$ ，且在过程中添加一个状态方程 $\theta(k + 1) = \theta(k)$ ，使得过程式 (14) 变为如下的等价形式：

$$\begin{cases} x_e(k + 1) = f_e(x_e(k)) + g_e(x_e(k)) \cdot u(k - \tau) \\ y(k + 1) = h_e(x_e(k + 1)) \end{cases} \quad (15)$$

式中， $f_e(x_e(k)) = [x(k) + \Delta t \cdot f(x(k), \theta(k))]$ ， $\theta(k)]^T$ ； $g_e(x_e(k)) = [\Delta t \cdot g(x(k), \theta(k)) \ 0]^T$ ； $h_e(x_e(k + 1)) = h(x(k + 1), \theta(k + 1))$ 。

比较模型式 (15) 和式 (10) 可知，STF 能对模型式 (15) 估计时变参数和状态。这样就可以利用估计出的参数在线修正 STF 和 GMC 方法中的模型。

4 非线性时滞过程的自适应一般模型控制

基于 STF/STF 的 AGMC 能够有效处理具有大延迟的非线性时变过程，其结构如图 1 所示。

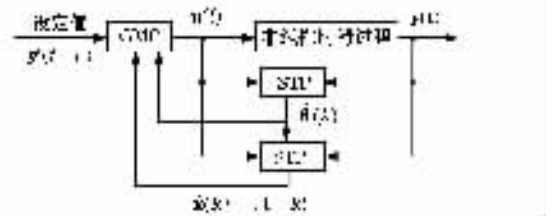


图 1 AGMC 的结构图

Fig.1 Block diagram of AGMC

AGMC 的详细算法如下：

① 设采样间隔时间 Δt ，利用 Euler 离散化将非线性过程式 (13) 转化为离散模型式 (14)。

② 定义扩展状态，将模型式 (14) 化为等价形式式 (15)。

③令 $k = 1, u(k) = u_0, x(k) = x_0$, 并为 STP 和 STF 选择合适的初始参数。

④利用 STF, 通过模型式(15)可以得到参数估计值 $\hat{\theta}(k)$ 。

⑤假设 $\hat{\theta}(k + \tau + 1) = \hat{\theta}(k + \tau) = \dots = \hat{\theta}(k + 1) = \hat{\theta}(k)$, 使用 STP 通过模型式(14)可得状态预测值 $\hat{x}(k + \tau + 1 | k)$, 参数 $\hat{\theta}(k)$ 用其估计值代替。

⑥通过下式计算 AGMC 的显式控制律:

$$u(k) = [L_g h(\hat{x}(k + \tau + 1 | k), \hat{\theta}(k + \tau + 1))]^{-1} \cdot \{K_1 [y^*(k + \tau + 1) - h(\hat{x}(k + \tau + 1 | k), \hat{\theta}(k + \tau + 1))] + \Delta t \cdot K_0 \sum_{j=1}^k [y^*(j + \tau + 1) - h(\hat{x}(j + \tau + 1 | k), \hat{\theta}(j + \tau + 1))] - L_f h(\hat{x}(k + \tau + 1 | k), \hat{\theta}(k + \tau + 1))\} \quad (16)$$

⑦ 令 $k + 1 = k$, 转到④。

5 三容水箱仿真研究

仿真模型是由德国 Amira 自动化公司提供的三容水箱实验装置 DTS200, 结构图如图 2 所示。

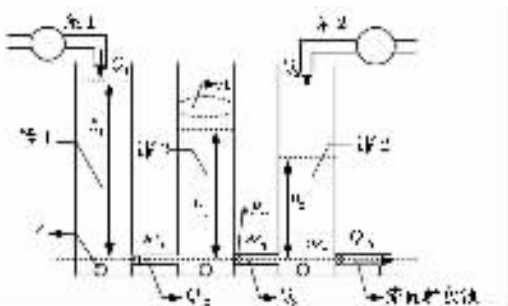


图 2 三容水箱 DTS200 的结构图

Fig.2 Structure of three-tank-system DTS200

它包括 3 个圆柱形的有机玻璃水箱, 罐 1 与罐 3 以及罐 2 与罐 3 之间有连接管, 中间装有球阀, 最右边的罐 2 的水通过管道流向底部的贮水池, 而泵 1 和泵 2 又从该贮水池把水打入罐 1 和罐 2。

对该水箱系统进行数学建模, 定义图中变量和参数: a_{z_i} 为流量系数(0.5), $i = 1, 2, 3$; h_i 为液位

(cm); Q_1, Q_2 为补给流量(cm^3/s); A 为罐的截面积(154 cm^2); S_1 为泄漏小孔的截面积(cm^2); S_n 为连接管道的截面积(0.5 cm^2); τ_1 为输入滞后时间(s)。

对罐 1、罐 2 和罐 3 分别建立各自的平衡方程:

$$\begin{cases} A \cdot dh_1/dt = Q_1 - Q_{13} \\ A \cdot dh_3/dt = Q_{13} - Q_{32} \\ A \cdot dh_2/dt = Q_2 + Q_{32} - Q_{20} \end{cases} \quad (17)$$

式中, 罐间流量 Q_{13}, Q_{32}, Q_{20} 用广义的 Torricelli 规则来确定: $Q_{20} = a_{z_2} S_n (2gh_2)^{1/2}$; $Q_{13} = a_{z_1} S_n \cdot \text{sgn}(h_1 - h_3) (2g|h_1 - h_3|)^{1/2}$; $Q_{32} = a_{z_3} S_n \text{sgn}(h_3 - h_2) (2g|h_3 - h_2|)^{1/2}$; g 为重力加速度(981 cm/s^2); $\text{sgn}(z)$ 为参数 z 的符号。

三容水箱的数学模型为

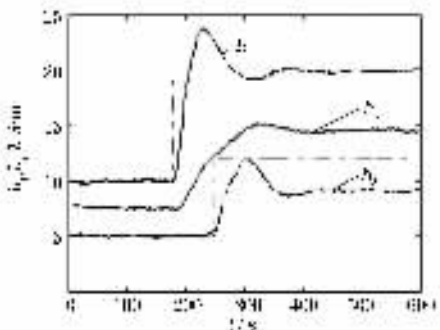
$$\begin{cases} \dot{x} = A(x) + Bu(t - \tau_1) \\ y = (x_1, x_2)^T \end{cases} \quad (18)$$

式中, $x = \begin{pmatrix} x_1 \\ x_2 \\ x_3 \end{pmatrix} = \begin{pmatrix} h_1 \\ h_2 \\ h_3 \end{pmatrix}$; $u = \begin{pmatrix} Q_1 \\ Q_2 \end{pmatrix}$;

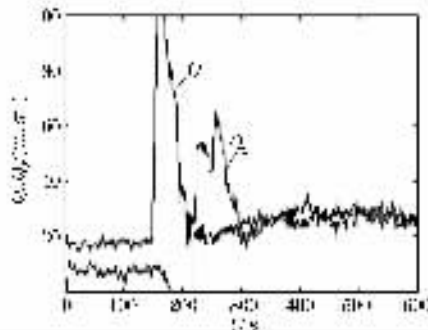
$$A(x) = \frac{1}{A} \begin{pmatrix} -Q_{13} \\ Q_{32} - Q_{20} \\ Q_{13} - Q_{32} \end{pmatrix}; B = \frac{1}{A} \begin{pmatrix} 1 & 0 \\ 0 & 1 \\ 0 & 0 \end{pmatrix}.$$

在 GMC 算法中, 选定 $K_1 = 0.05I_2, K_0 = 0.002I_2$, 采样间隔 $\Delta t = 1 \text{ s}$ 。而在 STP 中, 选择过程噪声方差阵 $Q = 1 \times 10^{-4} I_3$, 测量噪声方差阵设为一标称矩阵为 $R(k) = R^0(k) = 1 \times 10^{-2} I_2$ 。在 STF 中, 选择 $Q(k) = 1 \times 10^{-2} I_3, R(k) = R^0(k)$ 。仿真过程为 600 s。3 个罐的初始液位值分别是 $h_1 = 10 \text{ cm}, h_2 = 5 \text{ cm}, h_3 = 8 \text{ cm}$ 。在 180 s 时刻, 将罐 1 的液位设定值由 10 cm 提高到 20 cm, 在 250 s 时刻, 把罐 2 的液位设定值由 5 cm 提高到 12 cm。而在 250 s 时刻, 流量系数 a_{z_2} 由 0.6 跳变为 0.8。

无 STF 参数估计的 GMC 方法的仿真结果如图 3 所示。



(a) 液位 h_1, h_2, h_3



(b) 泵 1 和泵 2 的流速

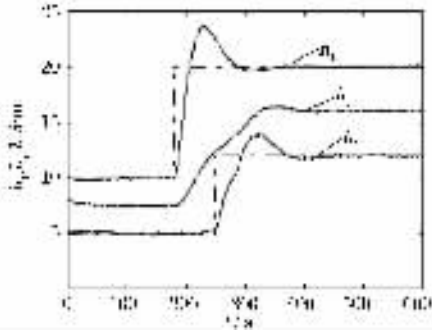
图 3 三容水箱系统 GMC 的仿真结果

Fig.3 Simulation results of the GMC for three-tank-system DTS200

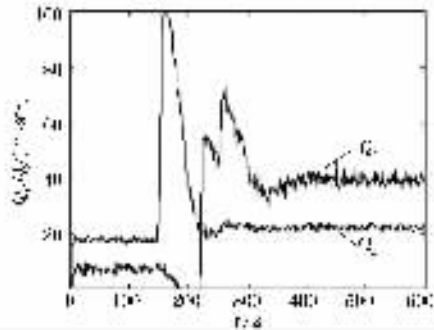
由图 3 可知, 在 $t = 250$ s 之后, 液位 h_2 就一直偏离设定值。这是因为当参数 az_2 发生了较大的变化时, 而 GMC 没有自适应处理的能力, 算法中

GMC 和 STP 的模型参数与真实的过程参数有较大的不匹配, 这就导致了输出值与设定值的偏离。

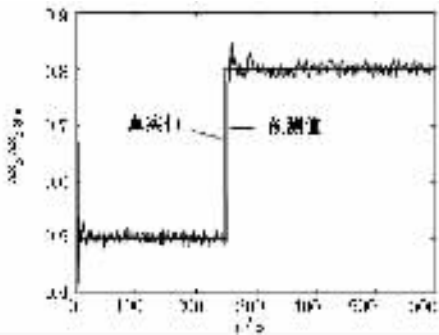
AGMC 的仿真结果如图 4 所示。



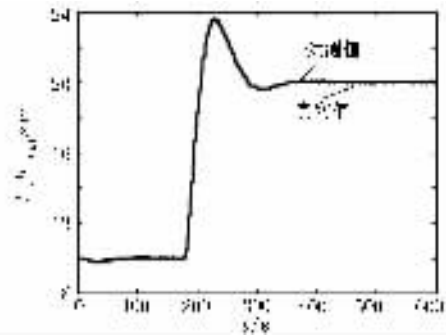
(a) 液位 h_1, h_2, h_3



(b) 泵 1 和泵 2 的流速



(c) 流量系数 az_2 估计值



(d) 液位 h_1 的真实值及其预测值

图 4 三容水箱系统 AGMC 的仿真结果

Fig.4 Simulation results of the AGMC for three-tank-system DTS200

图 4(a) 中, 实线表示液位的测量值, 而点划线表示液位的设定值, 此图表明 AGMC 的控制性能相当好。图 4(b) 给出了输入量(两个泵的流速)的变化, 泵 1 和泵 2 流量的突增时刻比液位提高设定时刻提前了 29 s, 这正是 STP 的 τ 步预测结果, 从而抵消了输入时滞, 这表明 STP 适合于大输入时滞的非线性过程控制。图 4(c) 表明 STF 能够准确和快速地跟踪流量系数 az_2 的变化。在图 4(d) 中, 无论状态变量 h_1 是迅速变化还是缓慢变化, STP 都能够准确地预测过程的未来状态值, 对 h_2, h_3 的状态预测也同样准确。

6 结 语

本文将传统的 GMC 扩展到一类具有输入时滞的非线性时变过程, 提出了 AGMC 策略。AGMC 以 STP/STF 为基础, 由于 STP/STF 都是根据正交性原理, 引入一个次优渐消因子来自动调整预测器或滤波器的增益阵, 使得 STP/STF 对于非线性过程的状态突变具有很强的跟踪能力, 并具有较强的鲁棒性。基于 STP/STF 的优良性能, 使得 AGMC 能够处

理同时具有大输入时滞和时变参数的非线性过程。

参考文献(References):

- [1] 周东华. 非线性系统自适应控制导论[M]. 北京: 清华大学出版社 2002. (Zhou Donghua. Introduction to adaptive control of nonlinear systems[M]. Beijing: Tsinghua University Press 2002.)
- [2] Xie X Q, Zhou D H, Jin Y H. Strong tracking filter based adaptive generic model control[J]. Journal of Process Control, 1999, 9(4): 337-350.
- [3] Wang D, Zhou D H, Jin Y H. A strong tracking predictor for nonlinear processes with input time delay[J]. Computers and Chemical Engineering, 2004, 18(12): 2523-2540.
- [4] Lee P L, Sullivan G R. Generic model control(GMC I J]. Computers and Chemical Engineering, 1998, 12(6): 573-580.
- [5] Wang D, Zhou D H, Jin Y H, et al. Adaptive generic model control for nonlinear time-varying processes with input time delay[J]. Journal of Process Control, 2004, 14(5): 517-531.
- [6] Zhou D H, Frank P M. Strong tracking filtering of nonlinear time-varying stochastic systems with colored noise: application to parameter estimation and empirical robustness analysis[J]. International Journal of Control, 1996, 65(2): 295-307.
- [7] 王东, 臧曙, 周东华, 等. 基于 STP 的非线性系统的控制策略[J]. 控制工程, 2005, 12(3): 215-217. (Wang Dong, Zang Shu, Zhou Donghua, et al. A control method for nonlinear time-delay systems based on a strong tracking predictor[J]. Control Engineering of China, 2005, 12(3): 215-217.)
- [8] 黄轶, 刘俊清, 林春丽, 等. 一类非线性系统综合自适应模糊滑模控制[J]. 控制工程, 2005, 12(S2): 19-22. (Huang Yi, Liu Junqing, Lin Chunli, et al. Composite adaptive fuzzy sliding mode control for a class of nonlinear systems[J]. Control Engineering of China, 2005, 12(S2): 19-22.)